

(55) コークスのカリウム吸収速度の解析

東北大学 選鉱製錬研究所 小林三郎 大森康男

1 緒言 や金用コークスの $N_2-K(v)$ 混合ガスからのカリウム(以下では K)吸収においては、K 蒸気のコークス細孔内拡散抵抗が、吸収反応抵抗に比して無視し得ないこと、K のコークス粒子内濃度分布は時間とともに変化することなどを、すでに明かにした。¹⁾ 本報ではこれらの点を考慮した総括吸収速度のモデルを作り、測定値¹⁾との curve fitting により、モデル中のパラメータを評価した。

2 コークスの K 吸収のモデル K 吸収はつきの過程①、⑤により進行すると仮定する；① K 蒸気はコークス粒子の外表面より細孔を通じてのみ拡散する、⑤ K 吸収は気相および固相の K 濃度の一次可逆反応により進行する。①については擬定常状態を考えることができる。⑤については吸収された K の存在形態は明かではないが、固体に移行した固体単位質量当たりの K の量 Z を固体の K 濃度とした。過程①、⑤は、 $d^2Y/dx^2 + (n/x)dY/dx - \phi^2 Y + (\phi^2/a)Z = 0 \dots (1)$ 、 $\partial Z/\partial t = a\beta Y - \beta Z \dots (3)$ と表わせる。初期および境界条件は、 $t=0; Z(t, x)=0, x=0; dY/dx=0, x=1; Y=Y_s$ 。a, β はパラメータ、φ はパラメータ r を含む。

3 a, β, r の評価 3 種類のコークス粒度 ($D_p=0.43$ (Δ) , 0.88 (\bigcirc) , 2.3 (\times) cm 図 2), 気相の K 分圧 $10^{-4} \sim 1.5 \times 10^{-3}$ atm, 吸収時間 10~70 分に関する粒子 1 個の K 吸収量の測定値 W_m [C], 900, 1000, 1100°C ごとに最小 2 乗法を適用して、パラメータを求めた。これから得た各定数を図 1 に、計算値 W_c と W_m の比を図 2 に示した。

4 コークス粒子内の K 濃度分布 図 1 の直線より得た数値を用いて算出した K の濃度分布とその EPMA による測定値¹⁾を図 3 に示した。両者は比較的よく一致し、本モデルは妥当と考える。記号 D_e : K 蒸気のコークス内有効拡散係数 [$\text{cm}^2/\text{sec}^{-1}$], K_e : 気相と固相の K の平衡定数 [-], k : K 吸収の反応速度定数 [sec^{-1}], n : 0(板), 1(円筒), 2(球), P : 全圧 [atm], R : 気体定数, r : 粒子中心からの距離 [cm], r_p : 粒子の球相当半径 = $D_p/2$ [cm], M_K : K の原子量, T : 温度 [K], x : r/r_p , Y : 気相の K のモル分率 [-], Z : 固相の K 濃度 [$\text{g}/\text{coke-g}$], $a = PM_K/\rho RT K_e$, $\beta = k K_e$, $r = (k/D_e)^{1/2}$, ρ : コークスの見かけ密度 [$\text{g} \cdot \text{cm}^{-3}$], $\phi = r_p r$, 文献 鉄と鋼, 63(1977), 8526

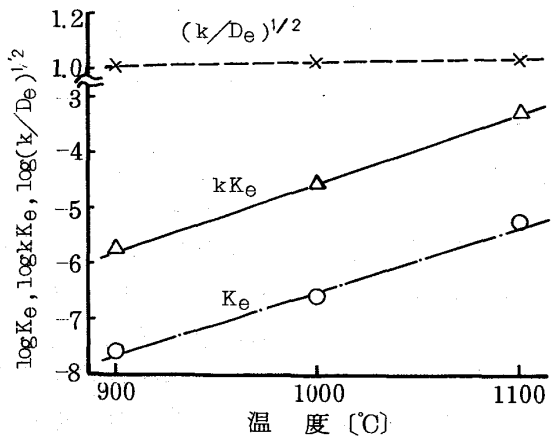


図 1 各定数の温度依存性

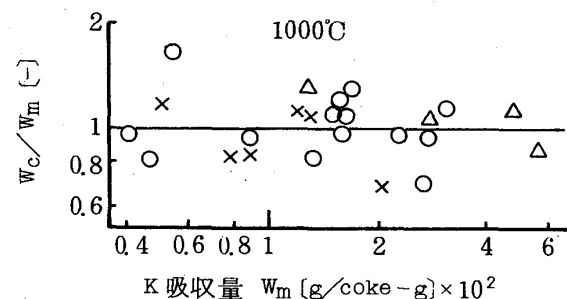
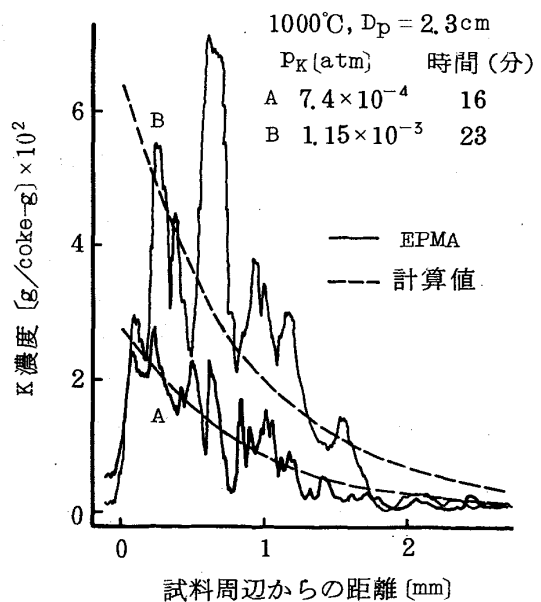
図 2 K 吸収量の測定値 W_m と計算値 W_c との比較

図 3 コークス粒子内の K 濃度分布